

FIG. 1



FIG. 2A

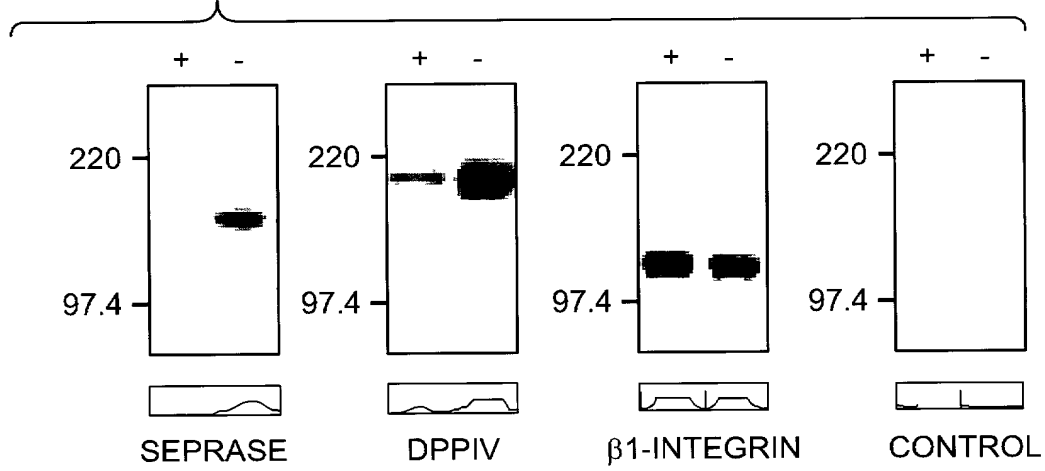


FIG. 2B

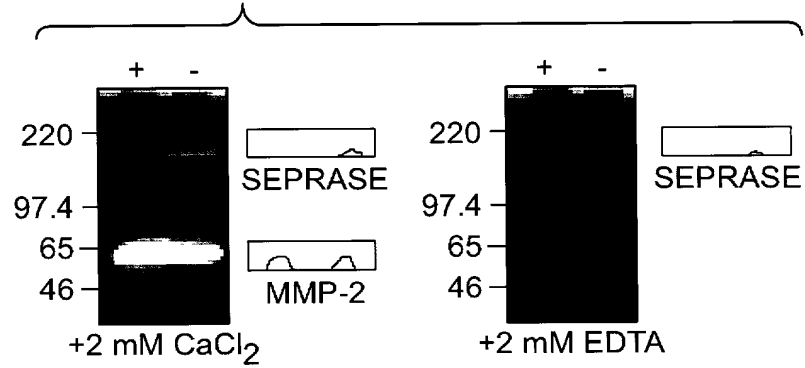


FIG. 2C

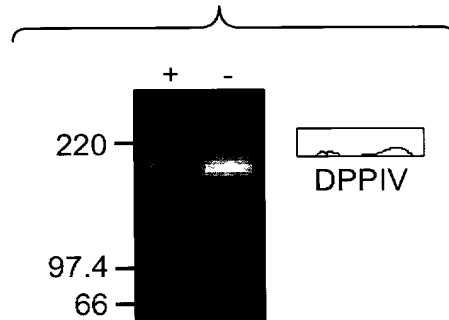


FIG. 2D

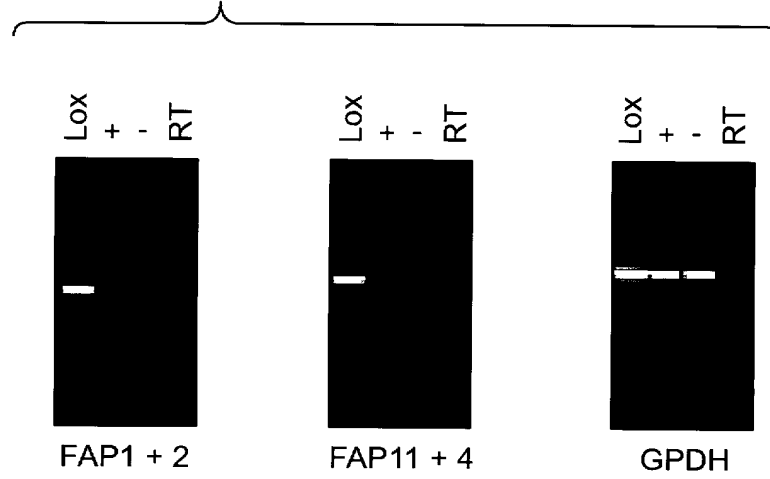


FIG. 2E

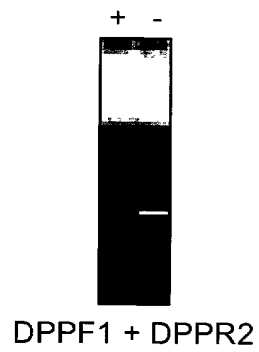


FIG. 2F

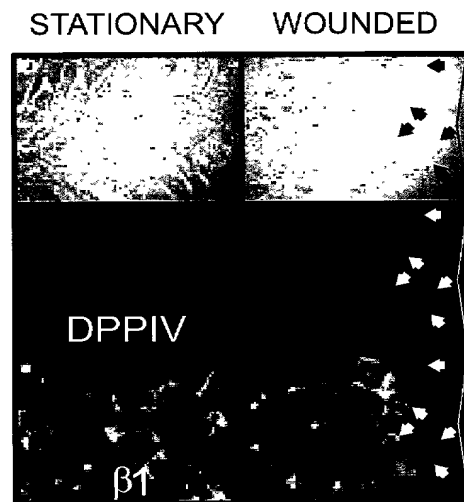


FIG. 2G

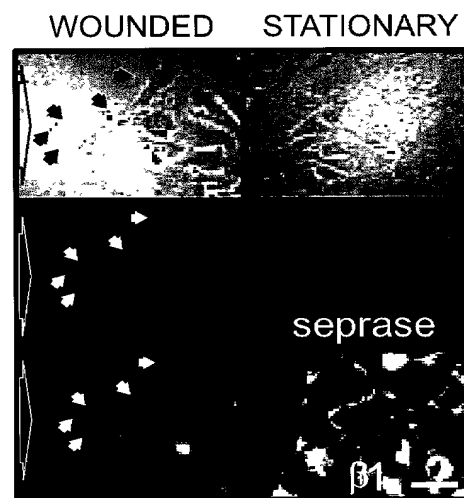
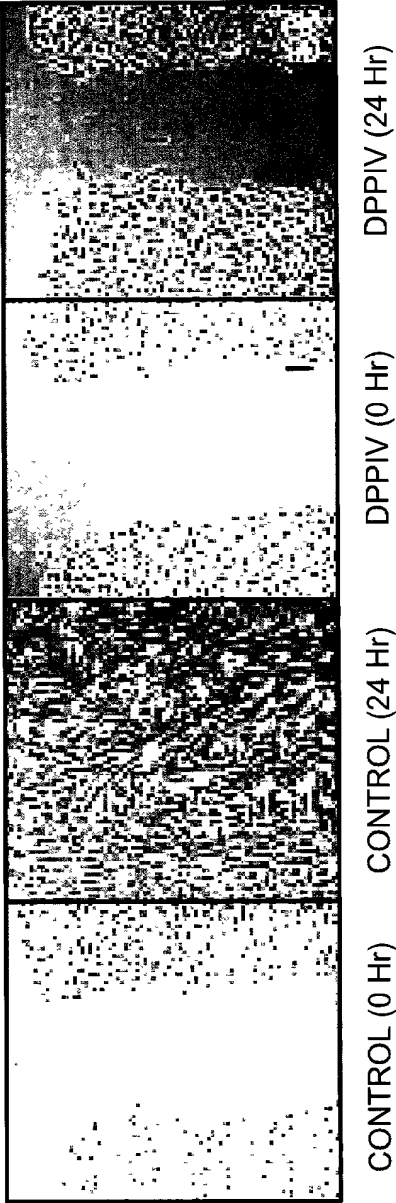


FIG. 2H



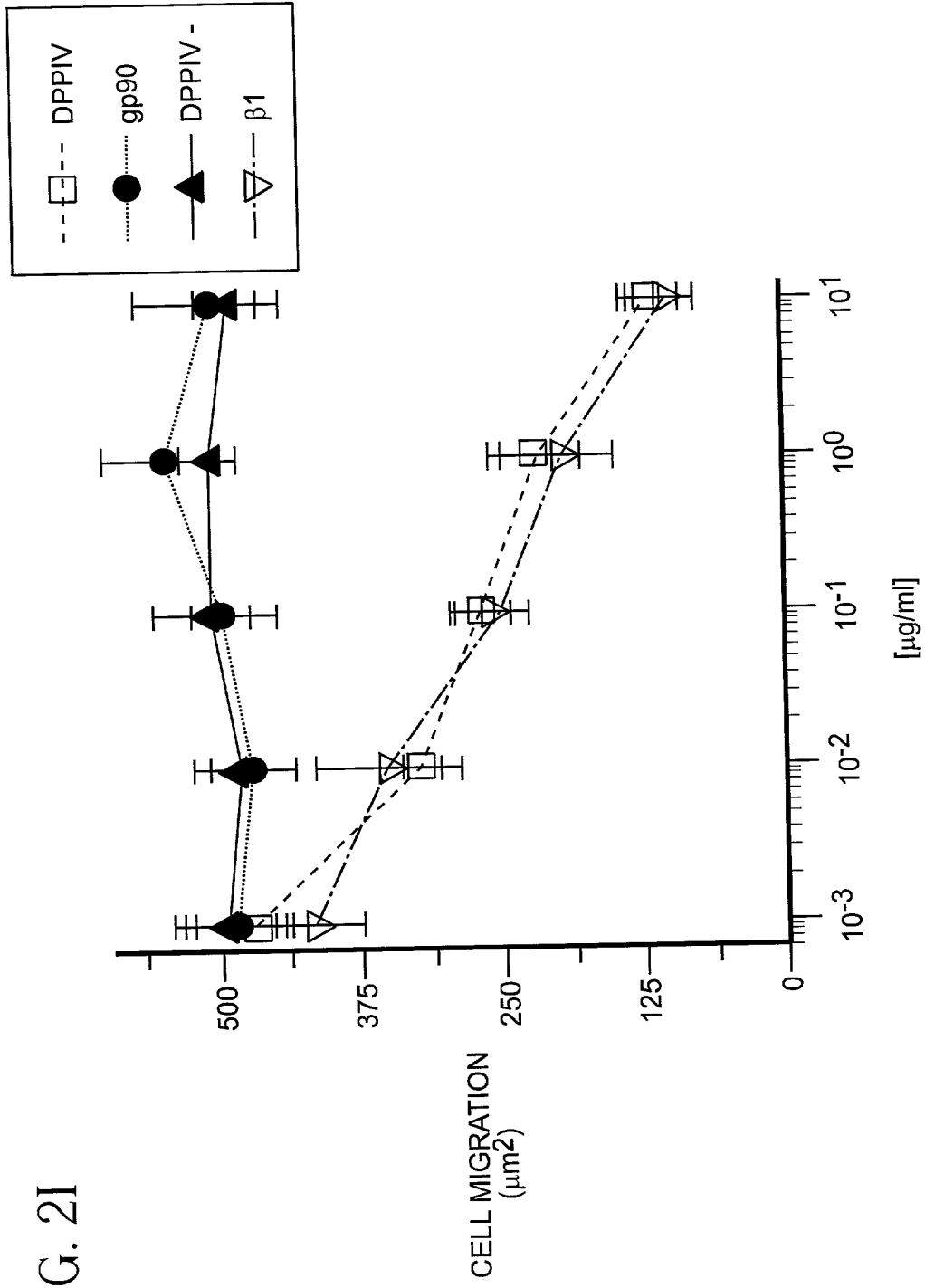


FIG. 2J

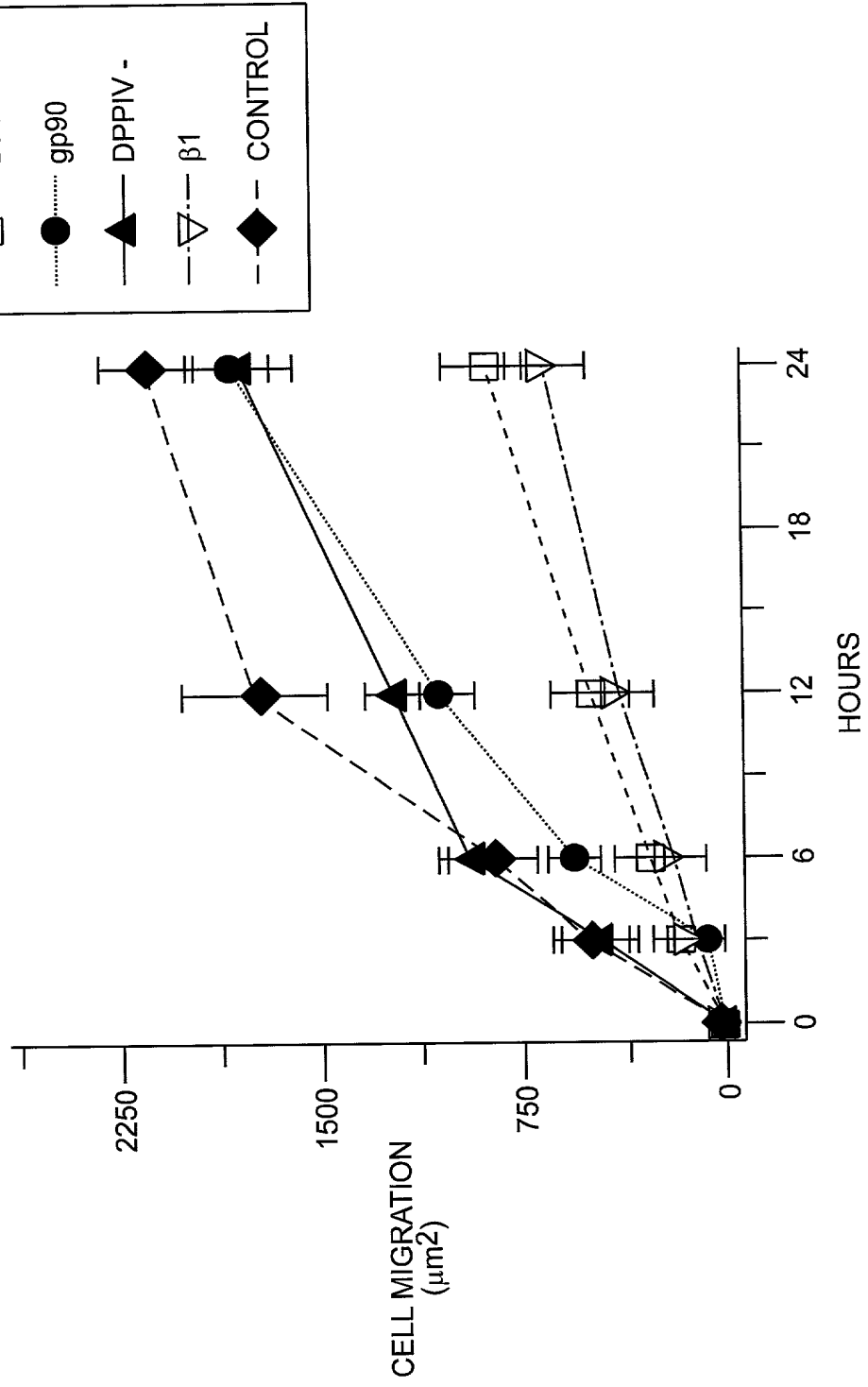
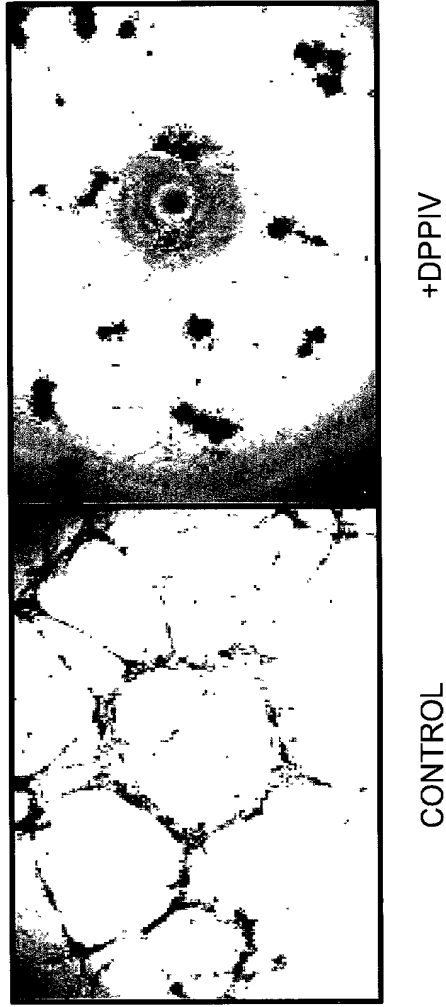


FIG. 3A



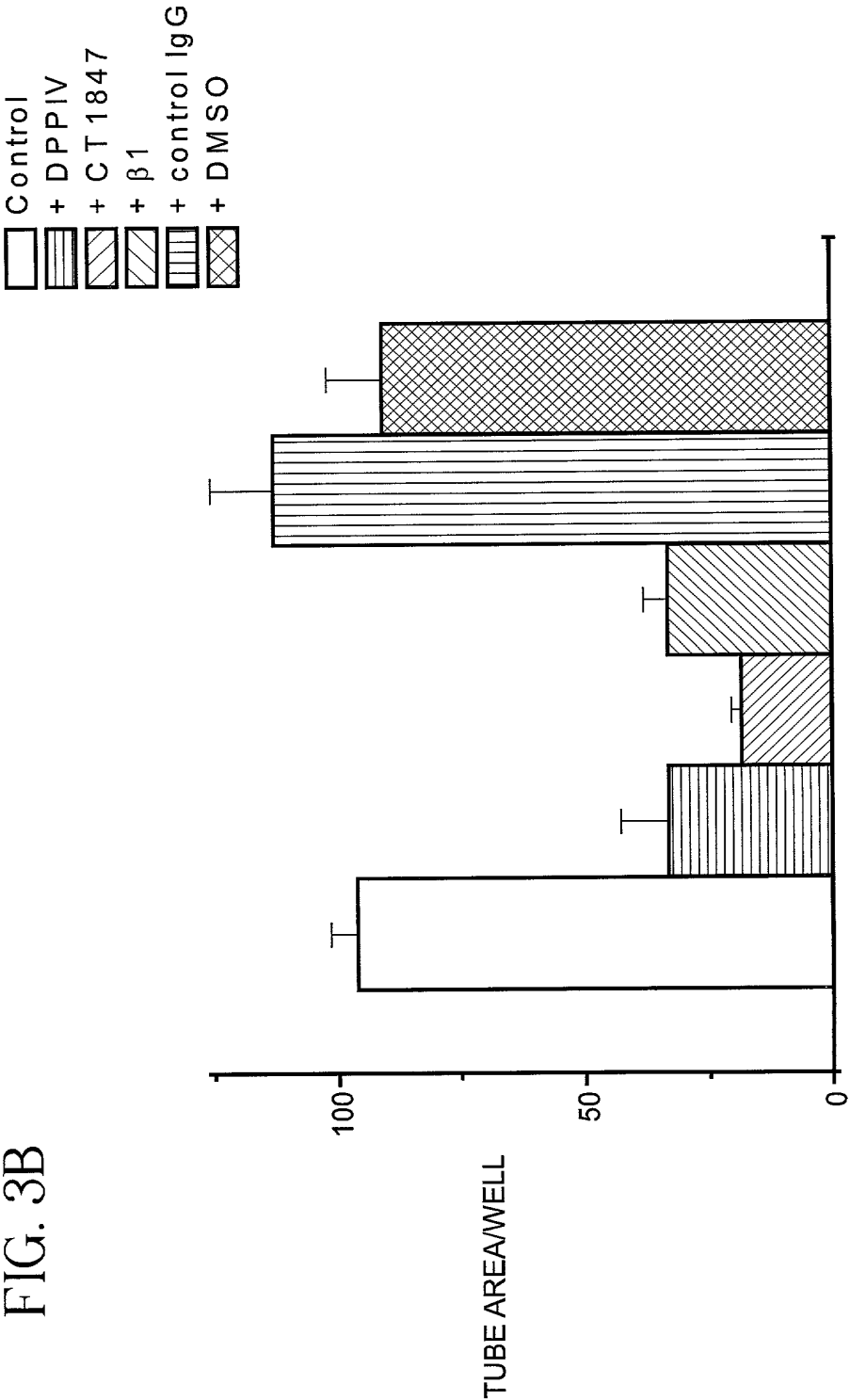


FIG. 3C

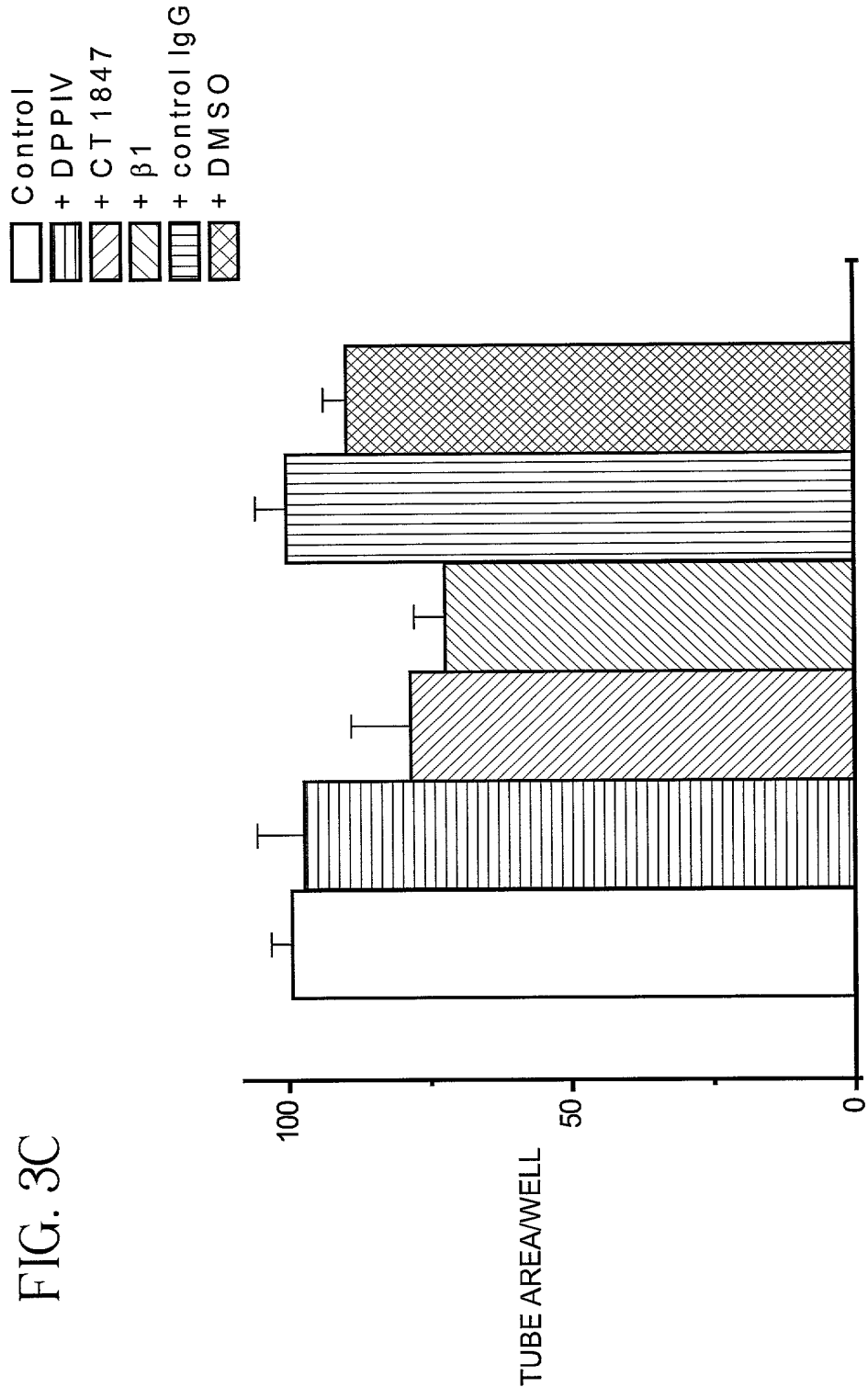


FIG. 3D



FIG. 4A

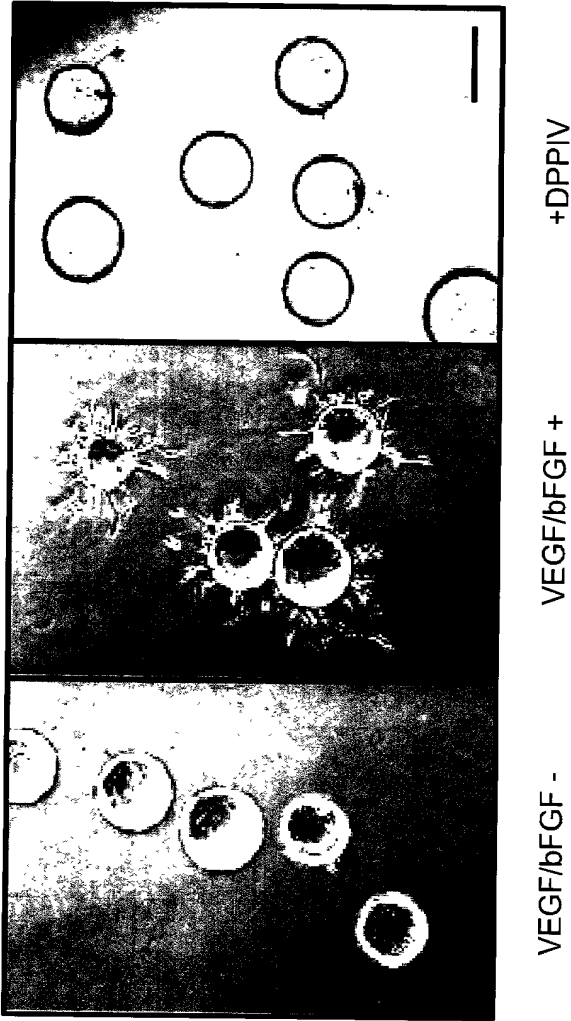


FIG. 4B

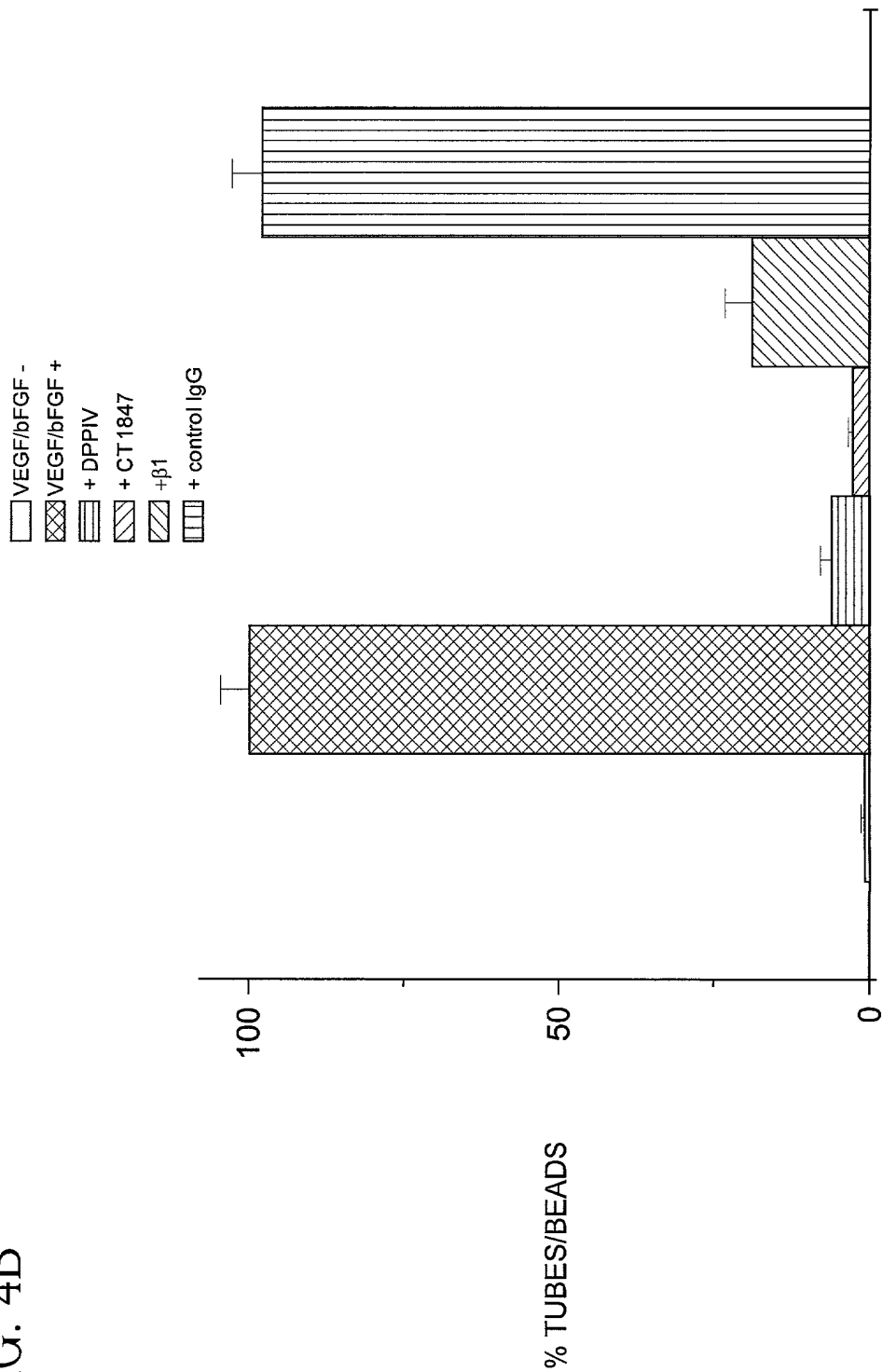


FIG. 5

Experimental Procedure

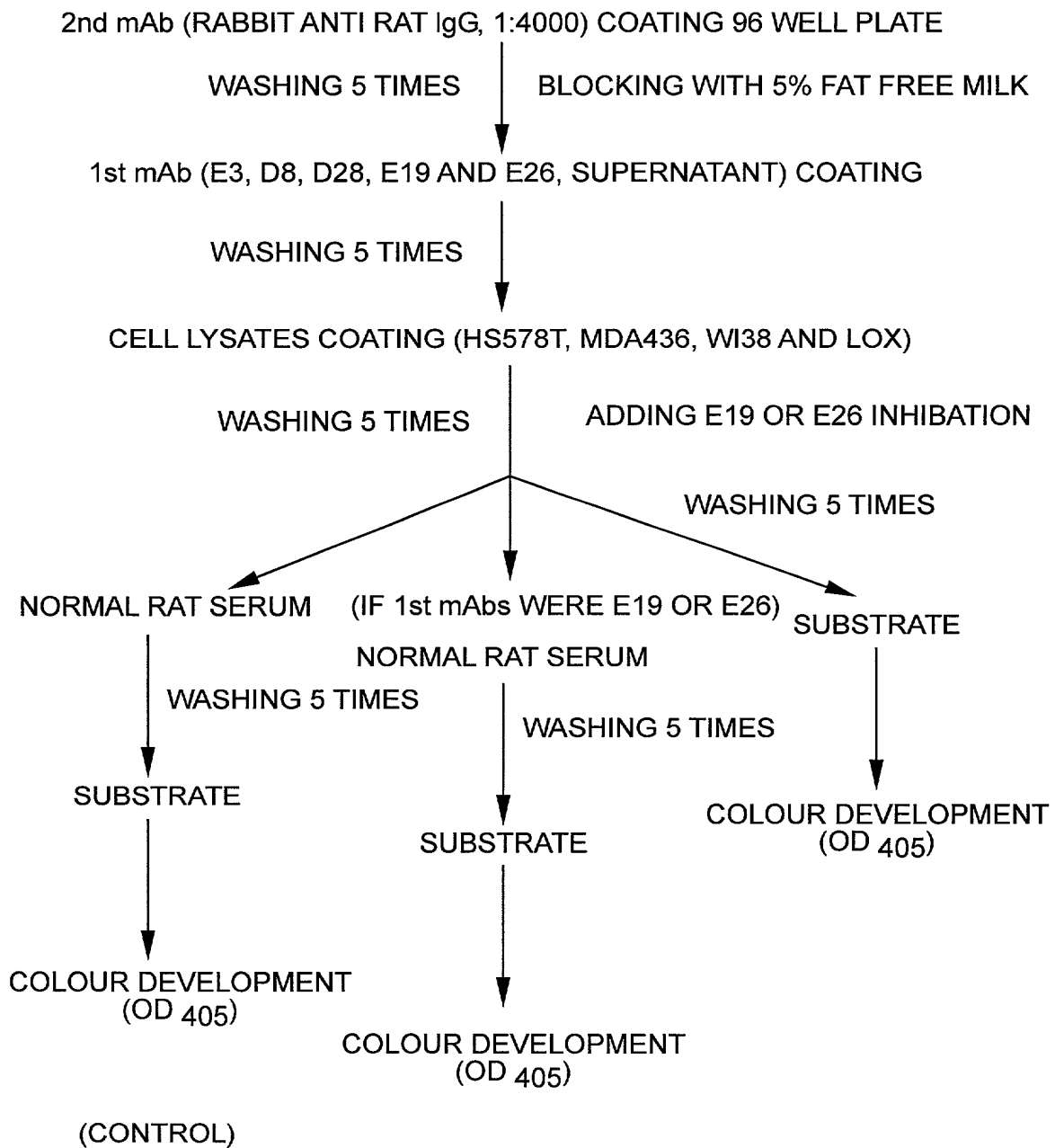


FIG. 6A

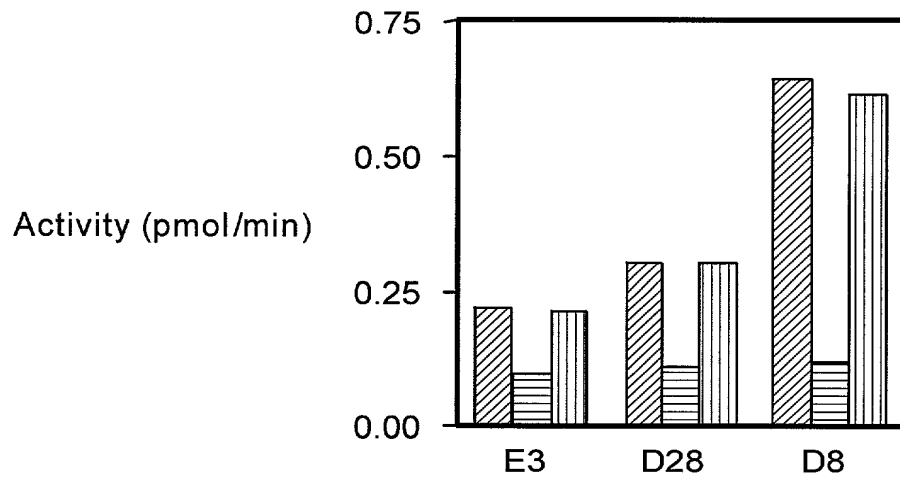


FIG. 6B

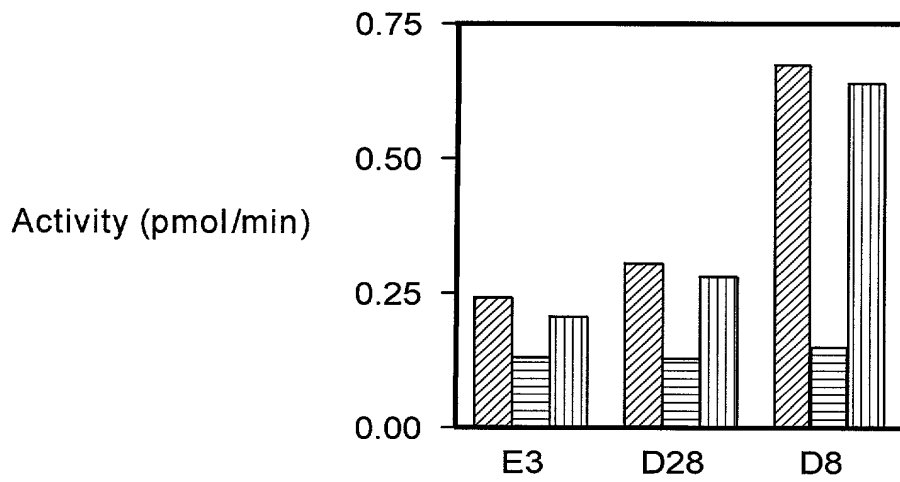


FIG. 6C

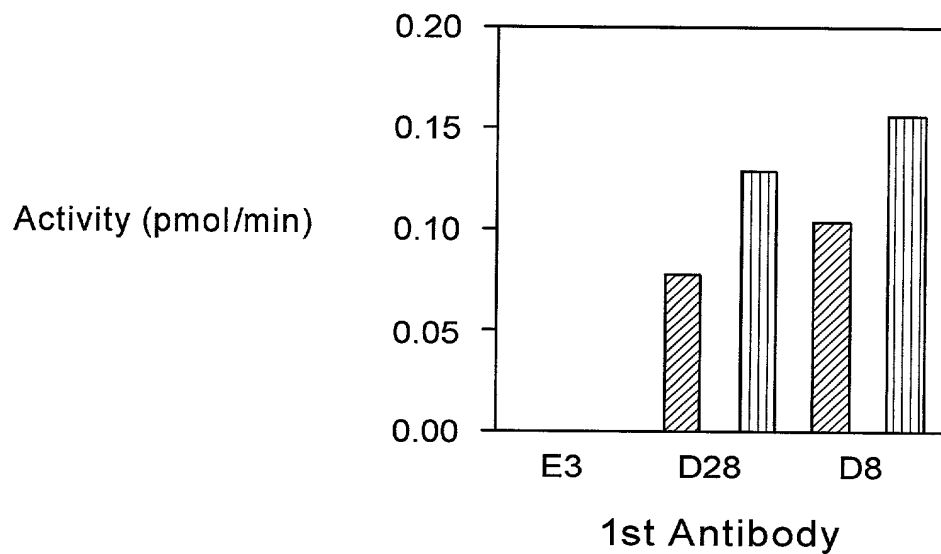


FIG. 6D

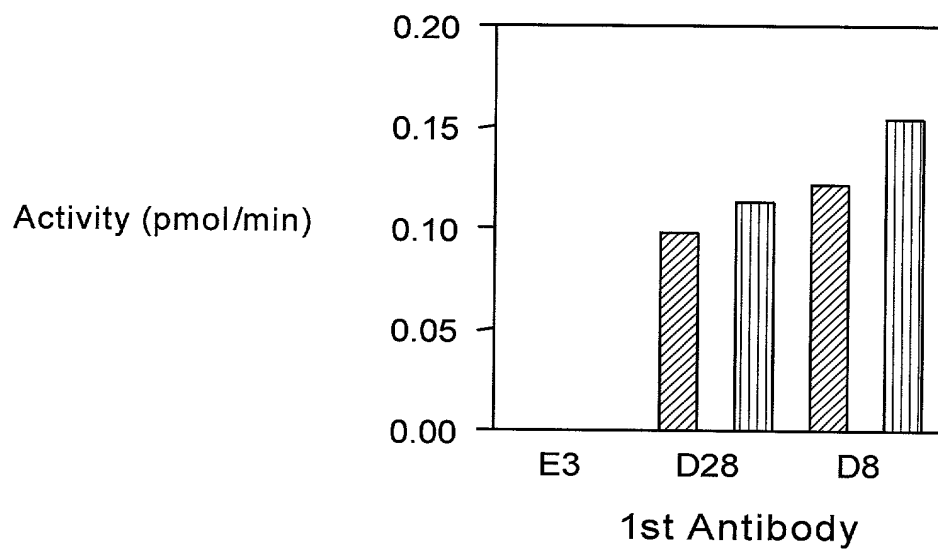


FIG. 7A

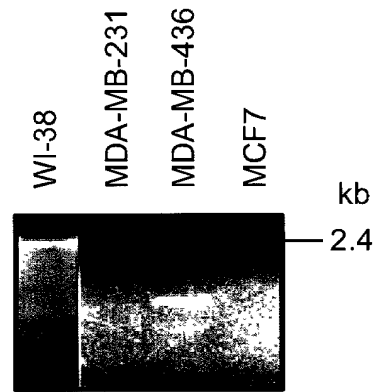


FIG. 7B

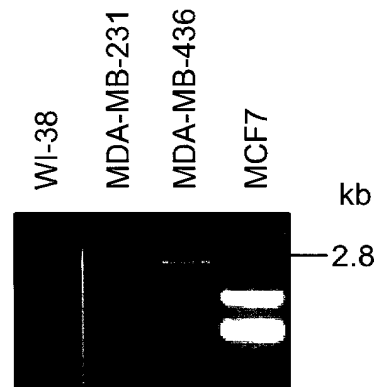


FIG. 7C

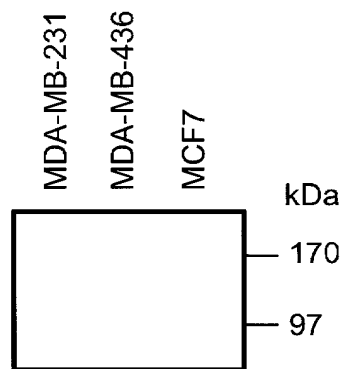


FIG. 7D

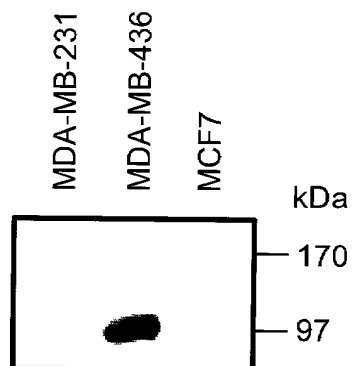


FIG. 7E

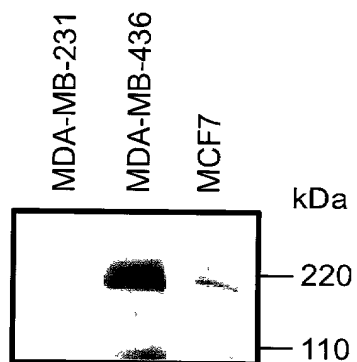


FIG. 7F



FIG. 8A

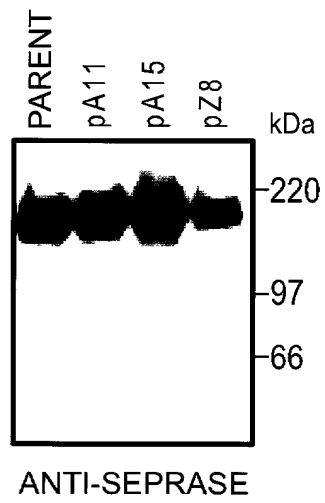


FIG. 8B

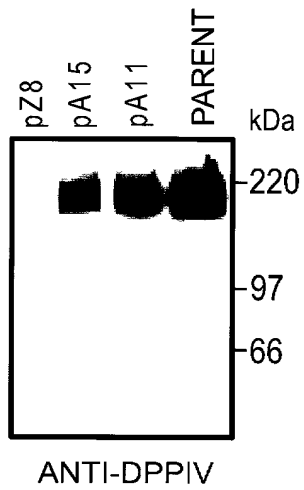


FIG. 8C

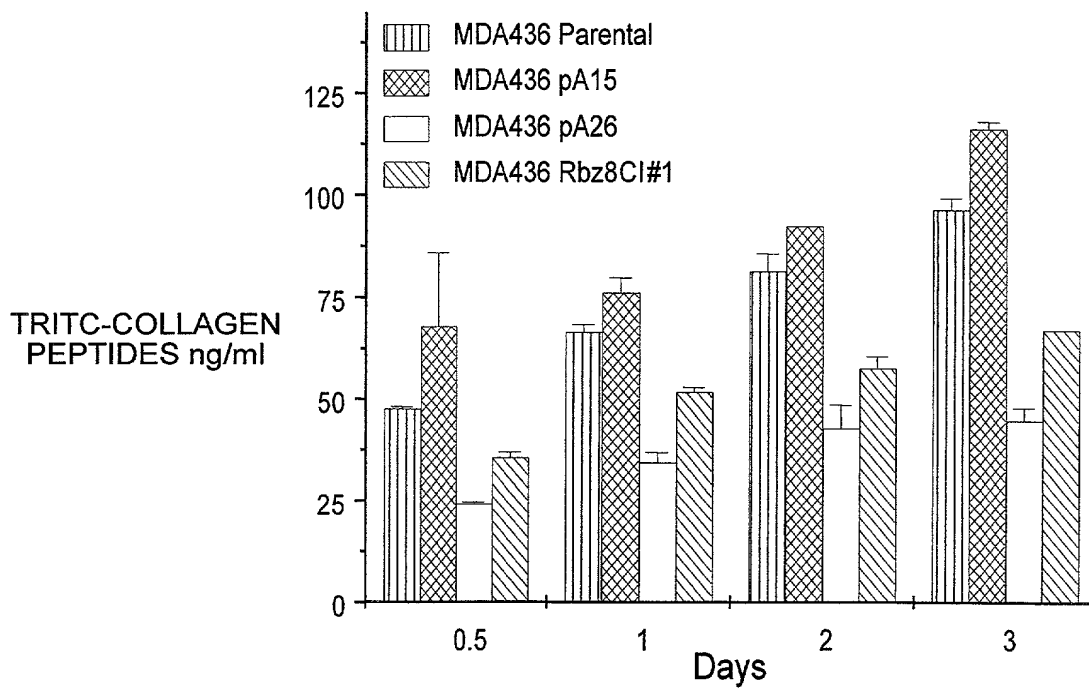


FIG. 9A

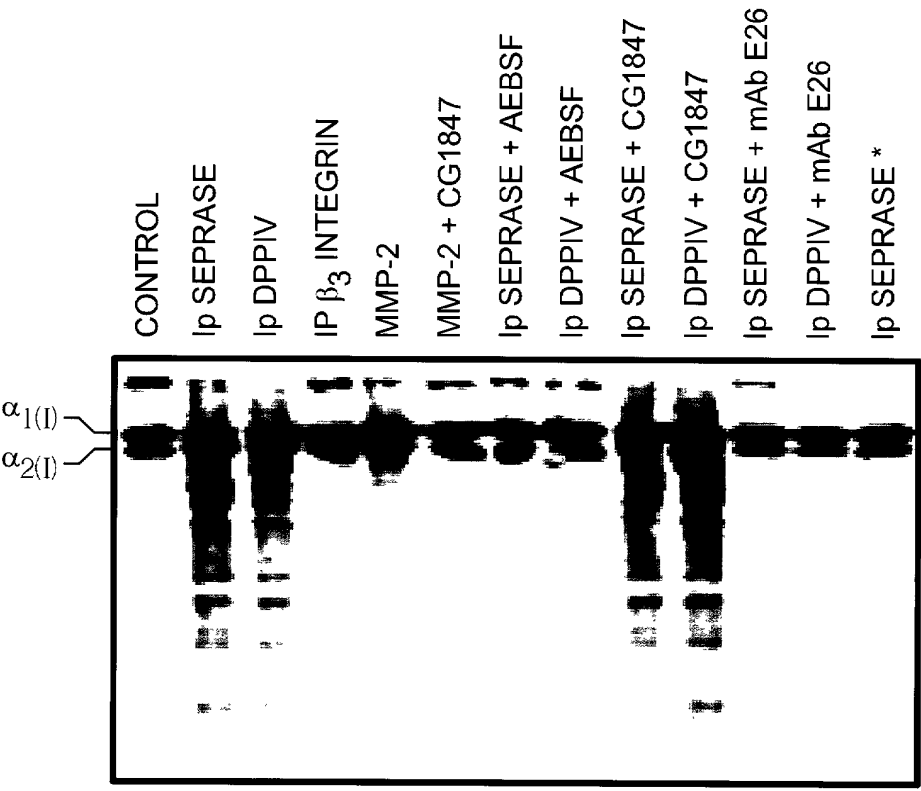


FIG. 9B

